

2. **Веселовський В. Б.** Розв'язання задачі про кристалізацію напівобмеженого масиву методом малого параметра / В. Б. Веселовський, О. І. Губін. // Вісник Тернопільського державного технічного університету. – 2006. – т. 11 – № 4. – С. 207–213.
3. **Веселовский В. Б.** Математическое моделирование тепловых процессов в составных телах с фазовыми переходами / В. Б. Веселовский, А. И. Губин, Н. В. Селезнева // *Металлургическая теплотехника*. – Д., 2005. – С. 71–79.
4. **Губін О. І.** Математичне моделювання плавлення металобрухту в конверторній ванні при комбінованій продувці / О. І. Губін, І. С. Тиріна. // *Диференціальні рівняння та їх застосування*. – Д., 2006. – С. 81–87.
5. **Веселовский В. Б.** Численное исследование затвердевания слитка прямоугольного сечения / В. Б. Веселовский, А. И. Губин. // *Металлургическая теплотехника*. – Д., 2006. – С. 42–52.
6. **Веселовський В. Б.** Дослідження температурних полів злитків прямокутного перетину в нагрівальних печах / В. Б. Веселовський, О. І. Губін, О. І. Губська. // *Вісник Дніпропетр. ун-ту*. – Д., 2007 – № 2/1 – С. 146–150.

Надійшла до редколегії 12.12.08

УДК 536.2:621.078

Т.М. Босенко

*Днепропетровский национальный университет им. Олеся Гончара*

#### МАТЕМАТИЧЕСКОЕ МОДЕЛИРОВАНИЕ И ИССЛЕДОВАНИЕ РЕШЕНИЙ ЗАДАЧ ТЕПЛОПРОВОДНОСТИ ДЛЯ СОСТАВНЫХ ТЕЛ С УЧЁТОМ ТЕПЛОВОЙ «ПАМЯТИ»

Подано та проаналізовано аналітичні розв'язки рівнянь теплопровідності гіперболічного та інтегро-диференціального типу при пульсаційному режимі нагрівання твердих тіл. Проведено порівняльний аналіз аналітичного та чисельного розв'язків задач нагріву багатопарової пластини з урахуванням теплової пам'яті.

**Введение.** В последние десятилетия в связи с созданием мощных излучателей повысилась актуальность проблемы взаимодействия интенсивных тепловых потоков с твёрдыми телами. В различных процессах обработки материалов концентрированными потоками энергии используется тепловое действие плазменного потока, лазерного или электронного луча. Создаются условия для скачкообразного изменения температуры поверхности твёрдого тела или граничащей с ней среды (так называемый тепловой удар), что приводит к появлению в телах мощной волны термических напряжений, достаточной для предпосылок к ухудшению как прочностных, так и теплофизических характеристик. Необходимость подобного рода исследований объясняется не только их теоретическим интересом, но и широким внедрением неравновесных систем и применением их на практике. Экстремальные условия работы составной конструкции – это высокоинтенсивный импульсный и пульсационный (воздействие различными по величине импульсами с определённой периодичностью во времени) нагрев, низкие и высокие температуры, плазменное напыление, лазерная обработка материалов. Такие условия привели в последнее время к необходимости построения математических моделей, основанных на гиперболических и интегро-дифференциальных уравнениях теплопроводности. Описание процессов теплопроводности в обычных условиях в средах со сложной структурой

© Т.М. Босенко, 2009

(поликристаллические структуры, полимеры) приводит также к необходимости решения задач теплопроводности для сред, наделенных тепловой памятью или наследственностью. В теории теплопроводности понятие «среда с тепловой памятью» связывается с релаксационными процессами. Сами вещества не совершают целенаправленных действий, а с течением времени под влиянием внешних воздействий или внутренней эволюции изменяют свое состояние или свойства. Если процесс приобретения (или утраты) веществом каких-либо свойств (например, аккумулярование теплоты, энергии) или переход его из одного состояния в другое зависит от предшествующего (предыстории) состояния, то говорят, что вещество наделено памятью. Развитием данного направления является локально-неравновесная теория высокоскоростных процессов теплопроводности, в которой температура понимается как функция абсолютной температуры и скорости её изменения  $v = \sqrt{\frac{a}{\tau_r}}$ , где  $\tau_r$  – время релаксации теплового потока в материале

[1]. В данной работе изложены основные математические модели локально-неравновесной термодинамики при высокоскоростной температурной обработке конструкций.

**Математическая модель пульсационного нагрева твёрдых тел.** Основной задачей для данного класса моделей является определение температурного поля (в локально-неравновесных условиях) конструкции при учёте всего периода пульсационного воздействия. Рассмотрим пример нагрева пластины с внутренним источником тепла, обладающим релаксационными свойствами во время пульсационного режима воздействия на материал (рис.1).

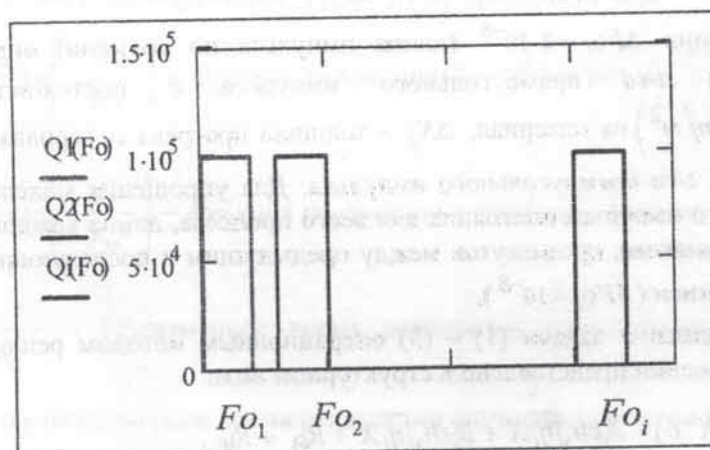


Рис. 1 Пульсационный нагрев материала точечным внешним источником  $Q_i$ , приложенных к стороне пластины  $X=1$ , время нагрева  $Fo_i = 2i \cdot 10^{-8}$ .

Для данного режима нагрева используется уравнение нестационарной теплопроводности гиперболического типа [2]

$$\frac{\partial \Theta_i}{\partial Fo_i} + Fo_i \frac{\partial^2 \Theta_i}{\partial Fo_i^2} = \frac{\partial^2 \Theta_i}{\partial X^2} + W_i, \quad i = \overline{1..n}. \quad (1)$$

Здесь  $\Theta_i = \Theta_i(X, Fo_i)$  – локально-неравновесная температура,  $W_i = W_i(X, Fo)$  – функция внутренних тепловых источников материала,  $Fo_i = \frac{a \cdot \tau_i}{R_0^2}$  – промежуток времени, в течение которого происходит пульсационное воздействие на материал,  $Fo^r = \frac{a \cdot \tau_r}{R_0^2}$  – безразмерное время релаксации теплового потока в материале,  $X = \frac{x}{R_0}$  – безразмерная координата,  $a$  – коэффициент температуропроводности,  $R_0$  – толщина пластины, м.

Начальные условия:

$$\begin{cases} \Theta_{i+1}|_{Fo=0} = \Theta_i(X, \Delta Fo_i), \\ \left. \frac{\partial \Theta_{i+1}}{\partial Fo} \right|_{Fo=0} = \frac{\partial \Theta_i(X, \Delta Fo_i)}{\partial Fo}, \end{cases} \quad (2)$$

граничные условия:

$$\begin{cases} \left. \frac{\partial \Theta_{i+1}}{\partial X} \right|_{X=0} = 0, \\ \Theta_{i+1}|_{X=1} = Q_i(\Delta X_i, \Delta Fo_i). \end{cases} \quad (3)$$

Величина  $\Delta Fo_i = 2 \cdot 10^{-8}$  (длина импульса по времени) определяет время воздействия  $i$ -го прямоугольного импульса с постоянной величиной  $Q_i = 10^5 \text{ (Вт/м}^2\text{)}$  на материал,  $\Delta X_i$  – толщина прогрева материала по окончании воздействия  $i$ -го прямоугольного импульса. Для упрощения модели принято, что величина  $i$ -го импульса постоянна для всего процесса, длина каждого импульса по времени одинакова, промежуток между предыдущим и последующим импульсами также постояен ( $\delta Fo_i = 10^{-8}$ ).

При решении задачи (1) – (3) операционным методом решение системы в поле изображений представлено в структурном виде

$$\Theta_i(X, p) = A_i ch \sqrt{\eta_i} X + B_i sh \sqrt{\eta_i} X + R_{\Theta_i} + R_{W_i}. \quad (4)$$

Здесь  $A_i$ ,  $B_i$  – константы интегрирования, которые определяются граничными и начальными условиями. Решение (4) задачи (1) – (3) включает в себя суперпозицию  $(R_{\Theta_i} + R_{W_i})$  частных решений уравнения (1), которые учитывают изменение температурного поля в материале  $(R_{\Theta_i})$  и изменение внутренних источников  $(R_{W_i})$  при  $i$ -ом прямоугольном импульсе [3]:

$$R_{\Theta_i}(X, p) = \sum_{n=0}^i \left[ \frac{1}{(p + Fo^r p^2)^{n+1}} \frac{d^{2n}}{dX^{2n}} R_{\Theta_n} \right], \quad (5)$$

$$R_{W_i}(X, p) = \sum_{n=0}^i \left[ \frac{1}{(p + Fo^r p^2)^{n+1}} \frac{d^{2n}}{dX^{2n}} R_{W_n} \right]. \quad (6)$$

Для определения  $R_{\Theta_i}(X, p)$  и  $R_{W_i}(X, p)$  при пульсационном воздействии фиксируется количество импульсов, которые действовали на материал и определяется толщина прогрева материала ( $\Delta X_i$ ), которая подставляется в выражения (5) и (6), предварительно продифференцировав  $R_{\Theta_i}(X, p)$  и  $R_{W_i}(X, p)$  в зависимости от количества импульсов.

Анализ теплового состояния системы при малых временах – временах релаксации системы ( $Fo^r = 10^{-9}$ ), показывает, что предел величин  $R_{\Theta_i}$ ,  $R_{W_i}$  при пульсационном режиме приводит к образованию релаксационных функций теплового потока и внутренней энергии:

$$\lim_{i \rightarrow \infty} \left( \sum_{k=1}^i R_{\Theta_k}(X, p) \right) \rightarrow \alpha(p), \quad (7)$$

$$\lim_{i \rightarrow \infty} \left( \sum_{k=1}^i R_{W_k}(X, p) \right) \rightarrow \beta(p). \quad (8)$$

В поле оригиналов функции  $\alpha(p)$ ,  $\beta(p)$  принимают вид:

$$\alpha(Fo) = \frac{1}{Fo^r} \exp\left(-\frac{Fo}{Fo^r}\right) - \text{функция релаксации теплового потока}, \quad (9)$$

$$\beta(Fo) = \frac{1}{Fo^e} \exp\left(-\frac{Fo}{Fo^e}\right) - \text{функция релаксации внутренней энергии}, \quad (10)$$

где  $Fo^r = \frac{a \cdot \tau_r}{R_0^2}$  – безразмерное время релаксации теплового потока. Введём

$Fo^e = \frac{a \cdot \tau_e}{R_0^2}$  как безразмерное время релаксации внутренней энергии [4]. Поведение

выражения  $\sum_{k=1}^i R_{W_k}(X, p)$  при  $i \rightarrow \infty$  подобно поведению убывающей экспоненциальной функции  $\beta(p)$ , которая отвечает за внутреннее состояние системы, что и позволило перейти от суммы  $R_{W_i}$  к  $\beta(p)$  [1;4].

Учитывая (7) – (8) при пульсационном режиме, гиперболическое уравнение (1) при учёте всех предысторий воздействия импульсов на материал принимает интегро-дифференциальный вид, где слагаемые, содержащие функции теплового потока и внутренней энергии, запишутся как:

$$\int_0^{Fo} \alpha(s) \frac{\partial \Theta}{\partial Fo} ds \approx \sum_{k=0}^{\infty} \left[ \delta_{k\Theta}(Fo_k) \cdot \left( \sum_{j=1}^n \Theta_j(X, \Delta Fo_j) \right) \right] -$$

внешняя составляющая учёта предыстории изменения температурного возмущения при пульсационном воздействии на материал;

$$\int_0^{Fo} \beta(s) \frac{\partial^2 \Theta}{\partial X^2} ds \approx \sum_{k=0}^{\infty} \left[ \delta_{kW}(Fo_k) \cdot \frac{d}{dX} \left( \sum_{j=1}^n \Theta_j(X, \Delta Fo_j) \right) \right] -$$

внутренняя составляющая учёта предыстории температурного возмущения при пульсационном воздействии на материал. Дельта-функции Дирака  $\delta_{k\Theta}$  и  $\delta_{kW}$  получены за счет учёта предыстории изменения температурного поля и внутренних тепловых источников материала при серии мгновенных импульсов. Тем самым, вычисление последующих импульсов (их величины) приводит к априорному определению количества импульсов (их длительности, мощности), после завершения которых происходит нагрев образца.

Полученные результаты в поле изображений демонстрируют, что при пульсационном режиме (рис. 2) величина релаксационной (неустановившейся) температуры  $\Theta_i$  с увеличением количества воздействия импульсов на материал с течением времени достигает значения  $T_{i\max}$ . Асимптотически температура  $T_{i\max}$  (поверхность 2 на рис. 2), приближается к значению  $T_i$  (поверхность 1 на рис. 2). Величина  $T_i$  определяется из интегро-дифференциального уравнения теплопроводности с учётом тепловой памяти [4]. Стремление  $\Theta_i$  к значению  $T_i$  обусловлено слагаемыми  $R_{\Theta_i}$ ,  $R_{W_i}$ , которые представляют собой функции учёта изменения температурного поля ( $R_{\Theta_i}$ ) в материале и возмущение внутренних тепловых источников ( $R_{W_i}$ ) на протяжении всего пульсационного нагрева.

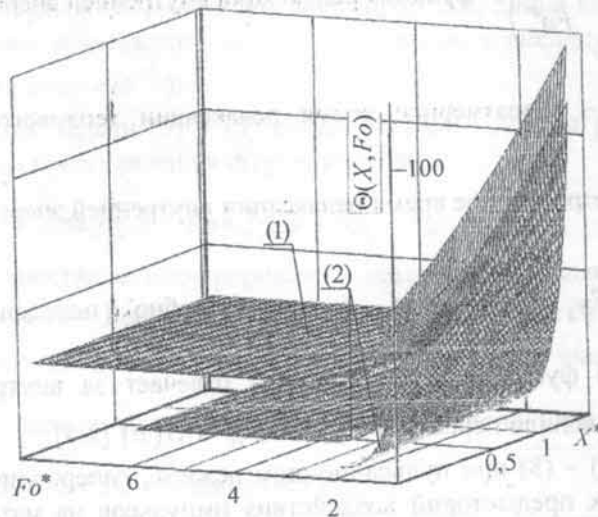


Рис. 2 Температурное поле образца материала: (1) – интегро-дифференциальное уравнения с учётом предыстории теплового нагрева, (2) – гиперболическое уравнение при пульсационном

режиме при  $Fo^* = Fo \cdot 10^{-9}$ ,  $X^* = X \cdot 10^{-3}$

**Нагрев многослойной конструкции с учётом тепловой памяти.** Будем рассматривать в общем случае составное тело. Под составным телом понимается многослойная конструкция, состоящая из двух и более элементов, представляющих собой пластины, каждая из которых обладает своим временем релаксации теплового потока ( $\tau_r$ ) и временем релаксации внутренней энергии ( $\tau_e$ ). В общем случае между пластинами (слоями) составного тела неидеальный тепловой контакт. Основное уравнение для тепловых процессов с учётом тепловой памяти в случае многослойной конструкции имеет вид [5; 6]

$$\beta_V(0) \frac{\partial \Theta_V(X, Fo)}{\partial Fo} + \frac{\partial^2 \Theta_V(X, Fo)}{\partial Fo^2} + \int_0^{Fo} \beta_V(s) \frac{\partial \Theta_V(X, Fo-s)}{\partial Fo} ds = \alpha_V(0) \frac{\partial^2 \Theta_V(X, Fo)}{\partial X^2} + \int_0^{Fo} \alpha_V(s) \frac{\partial^2 \Theta_V(X, Fo-s)}{\partial X^2} ds + W_V(X, Fo), \quad V = \overline{1..m}. \quad (11)$$

Начальные условия:

$$\Theta(X, 0) = \Phi_0(X); \quad (12)$$

$$\frac{\partial \Theta(X, 0)}{\partial Fo} = \Phi_1(X). \quad (13)$$

Граничные условия:

$$m_1 \cdot \Theta_V(X, Fo) \Big|_{X=0} + m_2 \cdot \int_0^{Fo} \alpha_V(s) \frac{\partial \Theta_V(X, Fo-s)}{\partial X} ds \Big|_{X=0} = f_1(Fo); \quad (14)$$

$$m_3 \Theta_V(X, Fo) \Big|_{X=1} + m_4 \cdot \int_0^{Fo} \alpha_V(s) \frac{\partial \Theta_V(X, Fo-s)}{\partial X} ds \Big|_{X=1} = f_2(Fo). \quad (15)$$

Условия на стыке:

$$\int_0^{Fo} \alpha_V(s) \frac{\partial \Theta_V(X, Fo-s)}{\partial X} ds \Big|_{X=1} = R_{V,V+1} [\Theta_{V+1}(0, Fo) - \Theta_V(1, Fo)]; \quad (16)$$

$$\int_0^{Fo} \alpha_V(s) \frac{\partial \Theta_V(X, Fo-s)}{\partial X} ds \Big|_{X=1} = \dots \quad (17)$$

$$-H_{V+1,V} \int_0^{Fo} \alpha_{V+1}(s) \frac{\partial \Theta_{V+1}(X, Fo-s)}{\partial X} ds \Big|_{X=0} = f_3(Fo).$$

Здесь  $Fo = \frac{a \cdot \tau}{R_0^2}$  — безразмерное время,  $Fo_V^r = \frac{a \cdot \tau_{r,V}}{R_0^2}$  — безразмерное время

релаксации теплового потока в материале  $V$ -ой пластины (слоя),  $Fo_V^e = \frac{a \cdot \tau_{e,V}}{R_0^2}$  —

безразмерное время релаксации внутренней энергии в материале  $V$ -ой пластины,

$\alpha_\nu(Fo) = \frac{1}{Fo_\nu^r} \exp\left(-\frac{Fo}{Fo_\nu^r}\right)$  – функция релаксации теплового потока  $\nu$ -ой пластины;

$\beta_\nu(Fo) = \frac{1}{Fo_\nu^e} \exp\left(-\frac{Fo}{Fo_\nu^e}\right)$  – функция релаксации внутренней энергии  $\nu$ -ой

пластины;  $R_0$  – наибольшая толщина пластины, м;  $R_\nu$  – толщина  $\nu$ -ой пластины, м;  $W_\nu = W_\nu(X, Fo)$  – функция внутренних тепловых источников материала  $\nu$ -ой пластины;  $m_i$  ( $i=1,2,3,4$ ) – коэффициенты, определяющие вид граничных условий;  $R_{\nu, \nu+1}$  – термическое сопротивление между  $\nu$ -ой и  $(\nu+1)$ -ой пластинами;  $f_i$  ( $i=1,2,3$ ) – граничные функции;  $\Phi_i$  ( $i=1,2$ ) – функции начального распределения;  $\mu_{\nu+1, \nu}$  – коэффициент пропорциональности.

Решение задачи (11) – (17) представлено в виде суммы частных решений, которые формируются под влиянием следующих компонент воздействия: внешних граничных условий, условий на стыке пластин, источников тепла по сечению пластины, начального распределения температуры и взаимного теплового влияния пластин.

Применяя интегральное преобразование Лапласа по временной переменной  $Fo$  и асимптотическое приближение, получим решение задачи (11) – (17) в виде:

$$\Theta_\nu(X, p) = \sum_{r=1}^{2m} \bar{g}_r(p) W_{r, \nu}(X, Fo_\nu^r, Fo_\nu^e, p) + z_{\nu, r}(X, Fo_\nu^r, Fo_\nu^e, p), \quad (18)$$

где первое слагаемое в (12) представляет собой общее решение однородного уравнения (11)

$$W_{r, \nu}(X, Fo_\nu^r, Fo_\nu^e, p) = \frac{\sum_{n=0}^{\infty} \mu_{n, r}^\nu(X, Fo_\nu^r, Fo_\nu^e) p^n}{\sum_{n=0}^{\infty} \varphi_n p^n}. \quad (19)$$

Компоненты воздействия  $\bar{g}_r(p)$  характеризуют влияние неравномерного начального распределения температуры, а также распределение источников (стоков) тепла по сечению, параметры контактного термического сопротивления, релаксацию теплового потока и внутренней энергии. Для расчёта температурного поля  $m$ -слойного твёрдого тела необходимо вычислить функциональные комплексы [7]:

$$\mu_{n, r}^\nu(X, Fo_\nu^r, Fo_\nu^e), \varphi_n: \mu_{n, r}^\nu = \left(\mu_{n, r}^\nu(X)\right)_{\text{параб}} + \left(\mu_{n, r}^\nu(X, Fo_\nu^r)\right)_{\text{гипер}} + \left(\mu_{n, r}^\nu(X, Fo_\nu^e)\right)_{\text{интегро-диф}}, \quad (20)$$

$$\left(\mu_{n, r}^\nu(X)\right)_{\text{параб}} = 1 + \frac{X^2}{\beta_\nu 2!} + \frac{X^{2n}}{\beta_\nu^n (2n)!}, \quad (21)$$

$$\left(\mu_{n,r}^v(X, Fo_V^r)\right)_{\text{зупер}} = (n-1) \cdot Fo_V^r \frac{X^{2n-2}}{\beta_V^{n-1} (2n-2)!}, \quad n = 2, 3, 4, \dots, \quad (22)$$

$$\begin{aligned} & \left(\mu_{n,r}^v(X, Fo_V^r, Fo_V^e)\right)_{\text{интегро-диф}} = \\ & = (n-1) \cdot Fo_V^r \frac{R_0^{2(n-1)}}{\beta_V^{n-1} (2n-1)!} + (n-2) \cdot Fo_V^r \frac{R_0^{2(n-1)}}{\beta_V^{n-1} (2n-2)!}, \end{aligned} \quad (23)$$

$$\varphi_n = (\varphi_n)_{\text{параб}} + \left(\varphi_n(X, Fo_V^r)\right)_{\text{зупер}} + \left(\mu_{n,r}^v(X, Fo_V^r, Fo_V^e)\right)_{\text{интегро-диф}}, \quad (24)$$

где  $\beta_V = \frac{\alpha_v \cdot R_0^2}{\alpha_0 \cdot R_v^2}$  – коэффициент пропорциональности.

Частное решение неоднородного интегро-дифференциального уравнения (11) определено соотношениями [8]:

$$\begin{aligned} z_{v,r}(X, Fo_V^r, Fo_V^e, p) &= z_v^{\text{nap}}(X_v, Fo) + z_v^{\text{zun}}(X_v, Fo) + \\ & + Fo_V^e \cdot \sum_{n=0}^{\infty} \beta_V^n \frac{n}{(n-2)!} \int_0^{Fo} (Fo-\theta)^{n-2} \frac{\partial^{2n}}{\partial X_v^{2n}} W_v(X_v, \theta) d\theta, \end{aligned} \quad (25)$$

$$\begin{aligned} z_v^{\text{nap}}(X_v, Fo) &= \sum_{n=0}^{\infty} \beta_V^n \frac{Fo^n}{n!} \varphi_v^{(2n)}(X_v) + \\ & + \sum_{n=0}^{\infty} \beta_V^n \frac{1}{n!} \int_0^{Fo} (Fo-\theta)^n \frac{\partial^{2n}}{\partial X_v^{2n}} W_v(X_v, \theta) d\theta, \end{aligned} \quad (26)$$

$$z_v^{\text{zun}}(X_v, Fo) = Fo_V^r \cdot \sum_{n=0}^{\infty} \beta_V^n \frac{(n+1) \cdot Fo^{n-2}}{(n-2)!} \varphi_v^{(2n)}(X_v). \quad (27)$$

В поле оригиналов решение (11) представлено в виде [9]

$$\begin{aligned} \Theta_v(X_v, Fo) &= \sum_{r=1}^{2m} \left\{ \sum_{n=0}^{\infty} \Omega_n [\mu_{n,r}^v(X_v), \varphi_n] \bar{g}_r^{(n)}(Fo) + \right. \\ & \left. + \sum_{k=1}^{\infty} \frac{\bar{g}_{k,r}(P_k)}{\Psi'(P_k)} Q[\mu_{k,r}(X_v), P_k] \exp(-\gamma_k^2 Fo) + z_{v,r}(X_v, Fo) \right\}. \end{aligned} \quad (28)$$

Решение (28), которое описывает температурное поле локально-неравновесного состояния многослойной пластины, содержит в себе соответствующие комплексы [10]:

$$\Omega_n [\mu_{n,r}(X_v), \varphi_n] = \frac{\mu_{n,r}(X_v)}{\varphi_0} - \sum_{j=1}^n \Omega_{n-j} [\mu_{n-j,r}(X_r), \varphi_{n-j}] \frac{\varphi_j}{\varphi_0}, \quad (29)$$

$$Q[\mu_{n,v}(X_v), P_k] = \sum_{n=0}^{\infty} \mu_{n,v}(X_v) P_k^n, \quad (30)$$

где



$$\Psi(\varphi_n, P_k) = \sum_{n=0}^{\infty} \varphi_n P_k^n - \quad (31)$$

целые функции;  $P_k = \gamma_k^2 \frac{a}{R_0^2}$ ;  $\gamma_k$  – корни трансцендентного уравнения

$$\Psi(\varphi, \gamma) = 0 \quad (32)$$

Общий вид решения (18) уравнения (11) позволяет определить температурное поле составного тела при экстремальных тепловых воздействиях, однако не позволяет получить точное аналитическое решение в связи с затруднительным нахождением интеграла Дюамеля. Решение (28), полученное при асимптотике решения (18) для малых времён (порядка времён релаксации теплового потока и внутренней энергии), позволяет определить температурное поле составного тела, представляя решение в виде суперпозиции параболической, гиперболической, интегро-дифференциальной составляющих, а также позволяет интеграл Дюамеля привести к приближённому сходящемуся ряду, что даёт возможность применить полученное решение для класса задач теплопроводности в условиях экстремальных тепловых нагрузок. Основное внимание было также уделено к выбору граничных функций, в зависимости от которых решение (18) может быть как устойчивым, так и неустойчивым. На примере функций полиномиального типа было показано устойчивость решения (18) при малых временах.

**Численный расчёт температурного поля конструкции с учётом тепловой памяти.** Для нахождения решения полученной системы (11) – (17) применён итерационный процесс. Пусть  $\bar{\omega}_h = \left\{ X_i = i \cdot h, i = 0, 1, 2, \dots, N; h = \frac{1}{N} \right\}$  – равномерная

сетка с шагом  $h$  на отрезке  $0 \leq X \leq 1$ ;  $\bar{\omega}_\tau = \left\{ Fo_j = j \cdot h, j = 0, 1, 2, \dots, N_0; \tau = \frac{T}{N_0} \right\}$  – сетка с шагом  $\tau$  на отрезке  $0 \leq Fo \leq T$ ,

$$\bar{\omega}_{h\tau} = \bar{\omega}_h \times \bar{\omega}_\tau = \left\{ (X_i, Fo_j), X_i \in \bar{\omega}_h, Fo_j \in \bar{\omega}_\tau \right\}.$$

Преобразовывая исходное уравнение (11), получим численный аналог вида [11]

$$\frac{y_i^j - y_i^{j-1}}{\tau} + Fo_{iV}^r \cdot \frac{y_i^{j+1} - 2 \cdot y_i^j + y_i^{j-1}}{\tau^2} + \sum_{k=1}^{\infty} B_k \frac{y_i^{j+1} - 2 \cdot y_i^j + y_i^{j-1}}{\tau^2} = \left( \Lambda_{нар, V} + \Lambda_{зун, V} + \Lambda_{нам, V} \right) \cdot \left( y_{i-1}^{j+1} - 2 \cdot y_i^{j+1} + y_{i+1}^{j+1} \right) + \varphi_{i, V}^j. \quad (33)$$

Выражение  $\Lambda_V = \Lambda_{нар, V} + \Lambda_{зун, V} + \Lambda_{нам, V}$  принимает вид дополнительного итерационного этапа в процессе вычисления (33), которое является асимптотическим представлением интегралов уравнения (11) в виде сумм, откуда

$$\Lambda_{нар, V} = a \cdot \beta_V \cdot \sigma, \quad (34)$$

$$\Lambda_{зун, V} = \sigma \cdot \sum_{k=1}^{\infty} B_{k, V}, \quad (35)$$

$$\Lambda_{лам, \nu} = \sigma \cdot \sum_{k=1}^{\infty} A_{k, \nu}; \quad (36)$$

где  $\sigma$  – весовой множитель,  $A_{k, \nu}, B_{k, \nu}$  – константы разложения в ряд функций внутренней энергии  $(\beta(Fo))$  и теплового потока  $(\alpha(Fo))$  соответственно,  $\varphi_{i, \nu}^j = W(X_i, Fo_j)$  – функция внутреннего теплового источника  $\nu$ -го слоя конструкции.

На рис. 3 представлено аналитическое и численное решения задачи для поверхностного слоя двухслойной пластины. Расчёт проводился для двух случаев: при  $\sigma=1$  – чисто неявная схема – и при  $\sigma=1/2$  – симметричная схема, которая выявилась более эффективной при расчёте температурного поля в связи с более точной аппроксимацией. При малых временах (порядка времён релаксации) различий в решениях не наблюдается [12]. Из рис. 3 видно, что для пластины высокоскоростной нагрев имеет особенности на начальных стадиях нагрева, которые выражаются в выявлении локального отклонения температурного поля, выраженного явным скачком. Физическая интерпретация данного феномена заключается в учете тепловой памяти прошлых состояний нагрева (или охлаждения), которые в математической постановке выраженные в виде функций релаксации теплового потока и внутренней энергии.

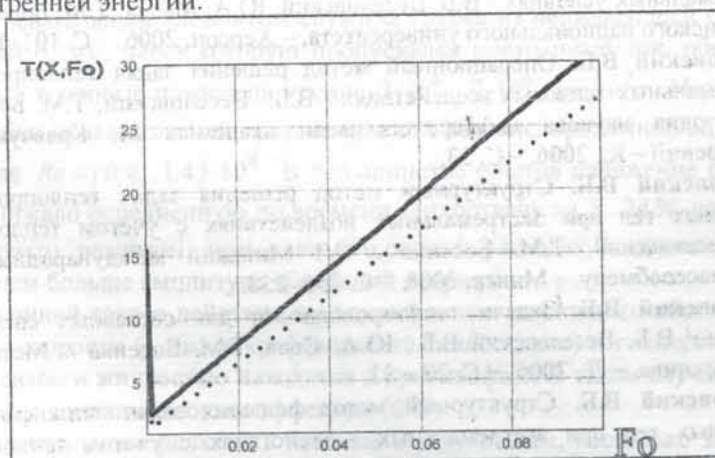


Рис. 3. Сравнительный анализ численного (....) и аналитического (—) решений; материал внешнего слоя  $X_2 = 1$  – сталь-10 толщиной  $L=10^{-3}$  м

**Выводы.** Проведенные на основе представленных моделей исследования показали, что неравновесные эффекты оказывают определяющее влияние на механизм и основные закономерности распространения высокоскоростных волн в активных средах. В условиях, не находящихся в локальном равновесии, термодинамические потенциалы переноса (то есть температуры и концентраций компонентов) существенно отличаются от классических, локально-равновесных. Это и приводит к качественно новым свойствам распространению тепловой волны в неравновесных условиях. Развитые методы могут служить основой для построения неравновесных моделей процессов переноса, которые протекают в различных физических системах.

Таким образом, получены структурные решения задач нестационарной теплопроводности для составных элементов конструкций, математические модели которых представлены в виде систем параболических, гиперболических и интегродифференциальных уравнений. Такие решения обладают однообразной вычислительной схемой. Предложены также интегральные соотношения для решения тепловых задач в пространстве изображений преобразования по Лапласу. Полученный анализ даёт возможность выделить в решении источники возмущения температурного поля многослойной конструкции.

### Библиографические ссылки

1. **Соболев С. Л.** Автоволны в локально-неравновесных средах (средах с памятью) / С.Л. Соболев // – Препринт ОИХФ АН СССР. – Черноголовка, 1989. – С. 112–124.
2. **Веселовский В.Б.** Математическое моделирование импульсного нагрева твёрдых тел / В.Б. Веселовский, Т.М. Босенко // *Металлургическая теплотехника*. – Д., 2008. – С. 91–101.
3. **Босенко Т.М.** Математическое моделирование пульсационного нагрева твердых тел / Т.М. Босенко // XV международная конференция «Теплотехника и энергетика в металлургии»: Материалы конференции – Д., 2008. – С. 17–18.
4. **Соболев С. Л.** Локально-неравновесные модели процессов переноса / С.Л. Соболев // *Успехи физических наук*, 1997 (167), 10. – С. 1095–1106.
5. **Веселовский В.Б.** Задачи теплопроводности для составных сред при экстремальных условиях / В.Б. Веселовский, Ю.А. Малая, Т.М. Босенко // *Вестник Херсонского национального университета*, – Херсон, 2006. – С. 101–105.
6. **Веселовский В.Б.** Операционный метод решения задач теплопроводности при экстремальных тепловых воздействиях / В.Б. Веселовский, Т.М. Босенко // XI-а міжнародна наукова конференція імені академіка М. Кравчука: Матеріали конференції – К., 2006. – С. 53.
7. **Веселовский В.Б.** Структурный метод решения задач теплопроводности для составных тел при экстремальных воздействиях с учётом тепловой памяти / В.Б. Веселовский, Т.М. Босенко // VI Минский международный форум по теплообмену. – Минск, 2008. – С. 256–258.
8. **Веселовский В.Б.** Задачи теплопроводности для составных сред с тепловой памятью / В.Б. Веселовский В.Б., Ю.А. Сова, Т.М. Босенко // *Металлургическая теплотехника*. – Д., 2005. – С. 20 – 31.
9. **Веселовский В.Б.** Структурный метод решения задач теплопроводности для составных тел при экстремальных воздействиях с учетом тепловой памяти / В.Б. Веселовский, Т.М. Босенко, К.В. Горелова // *Металлургическая теплотехника*. – Д., 2007. – С. 91–101.
10. **Веселовский В.Б.** Решение задач теплопроводности для составных тел при экстремальных воздействиях с учетом тепловой памяти / В.Б. Веселовский, Т.М. Босенко, К.В. Горелова // *Вестник ХНТУ*. – Херсон. – Вып. 2 (28), 2007. – С. 87–92.
11. **Босенко Т.М.** Численное моделирование тепловых процессов в средах с тепловой памятью / Т.М. Босенко // Матеріали міжнародної науково-технічної конференції пам'яті академіка НАН України В.І. Моссаковського «Актуальні проблеми механіки суцільного середовища і міцності конструкцій». – Д., 2007. – С. 305–306.
12. **Босенко Т.М.** Численный метод решения задачи теплопроводности для составных тел при экстремальных воздействиях с учетом тепловой памяти / Т.М. Босенко // *Диференціальні рівняння та їх застосування*. – Д., 2007. – С. 111–117.

Надійшло до редакції 30.12.08